

รายการอ้างอิง

ภาษาไทย

ประโยชน์ บุญสินสุข และคณะ. การรักษาด้วยกระแทกไฟฟ้าความถี่ต่ำ.

กรุงเทพมหานคร : ส้านักพิมพ์ไชยาลศิลป์การพิมพ์ 2529.

ราตรี สุจกรวงศ์. ประสาทสัรวิทยา : สำหรับนักศึกษาแพทย์.

กรุงเทพมหานคร : โรงพิมพ์จุฬาลงกรณ์มหาวิทยาลัย , 2531.

วินิตา บุณฑิต , บรรณาธิการ. วิทยาอิสโตร 1 : เชลล์และเนื้อยื่นฐาน.

กรุงเทพมหานคร : โรงพิมพ์จุฬาลงกรณ์มหาวิทยาลัย , 2535.

ภาษาอังกฤษ

Albuquerque , E.X. , and MacIsaac , R.J. Fast and Slow
mamalian muscles after denervation. Exp Neurol

26 (1970) : 183-186.

Basford , J.R. , et al. Comparison of Cold-Quartz Ultraviolet ,
Low-Energy Laser and Occlusion in wound healing in a
Swine model. Arch phys med Rehabil 67 (March 1986a)
: 151-154.

_____. Low-Energy Laser Treatment of Pain and Wound.
Mayo Clin Proc 61 (August 1986b) : 671-675.

Belmar , J. , and Eyzaguirre , C. Pace marker site of fibrillation potential in denervate mammalian muscle.

J Neurophysiol 29 (1966) : 425-437.

Bloom , W. , and Fawcett , D.W. A text book of histology.

London : Saunders company , 1962.

Brooke , M.H. , and Kaiser , K.K. muscle fiber types :

how many and what kind ?. Archives of neurology

23 (1979) : 369-379.

Bruce , R.P. Electrical Stimulation Effect on Denervated

Skeletal Myofibers in Rats : A Light and Electron

Microscope Study. Arch Phys Med Rehabil 63

(September 1982) : 427-430.

Fedoseyeva , G.E. , Karu , T.I. , Lyapunova , T.S. ,

Pomoshikova , N.A. , Meissel , M.N. , and Peskin ,

A.V. The effect of low-intensity red light on the

activity of yeast enzymes. Microbiologiya (1986) :

944-948.

, Karu , T.I. , Lyapunova , T.S. , Pomoshikova ,

N.A. , and meissel , M.N. Sensitivity of yeast culture

to low intensity red light. Microbiologiya 56 (1987) :

792-796.

Guth , L. Muscle Regeneration. New York : Reven Press , 1979.

_____, Kemmerer , V.F. , and Samaras , T.A. The roles of disuse and loss of neurotrophic function in denervation atrophy of Skeletal muscle . Exp Nenral 73 (1981) : 20-27.

Gutmann , E. , and Lomo , T. Motor Inner vation of Muscle.

New York : Academic press , 1976.

Herbison , G.J. , Jaweed , M.N. , and Ditunno , J.F. Muscle atrophy in rats following denervation casting , inflammation and tenotomy. Arch Phys Med Rehabil 60 (1979) : 401-410.

Jaweed , M.M. , Herbison , G.J. and Ditunno , J.F. Denervation and reinnervation of fast and slow muscles : A Histochemical study in rats. J Histochem Cytochem 23 (1975) : 808-812.

Justus , F.L. Therapeutic heat and cold. 4th ed. Baltimore , 1990
Kakulas , B.A. Disease of Muscle. 4th ed. philadelphia : Harper & Row , 1985.

Kana , S. , et al. Effect of low-power Density laser Radiation on Healing of Open Skin Wounds in Rats. Arch Surg 116 (March 1987) : 290-293.

Kana , T.I. , Kalendo , G.S. , Letoknov , V.S. , and Lobko ,
V.V. Biostimulation of Hela cell by low intensity
visible light II. Stimulation of DNA and RNA synthsis
in a wide spectral range II. Nuovo Cimento D 3 (1984)
: 309-318.

_____, Lukpanova , G.G. , Parkhomenko , I.M. , and
Chirkov , Y.Y. Change in cAMP level in mamalian
cells after irradiation with monochromatic visible light.
Biophysics 281 (1988) : 1242-1244.

Karu , T.I. Photobiology of Low-power Laser effects.
Health Physics 56 (may 1989) : 699-704.

Kert , J. , and Rose , L. Clinical Laser Therapy : Low level therapy
Denmark : Roserberg Bogtrapy , 1989.
Nelson , R.M. , and Carrier , D.P. Clinical Electrotherapy :
Electrical Stimulation of denervated muscle . California ,
1987.

Purves , D. , and Sakmann , B. Membrane properties underlying
spontaneous activity of denervated muscle fibers.
J Physiol 239 (1974) : 125-132.

Rosemary , M.S. , and Marrylon , R.B. Physical Therapy.
Philadelphia : Lippincott Company , 1989.

Schiff , M. Ueber motorische Lahmung der Zang. Arch f Physiol

Heikunde 10 (1951) : 579-581.

Sunderland , S. Nerves and nerve Injuries , 2nd ed. Edinburgh : Churchill Livingstone , 1978.

Tiphlova , O.A. , and Karu , T.I. Action of monochromatic low intensity visible light on growth of E. coli
Photochem Photobiol 48 (1988) : 467-471.

Victor , D. Muscle biopsy : A practical approach , 2nd ed. Suffolk : Lavenham Press , 1985.

Ware , F. , Bennett , A.L. , and Mc Intyre , A.R. membrane resting potential of denervated mammalian skeletal muscle measured in vivo. Am J Physiol 177 (1954) : 115-118.

ภาคพนวก

ภาคผนวก ก

การหาค่า Chronaxie จากเครื่องกระตุ้นไฟฟ้า โดยไม่ต้องหา S-D curve

1. วางชี้วัดกระตุ้นผิวนังที่จะหาค่า
2. ตั้งช่วงพักที่ 500 มิลลิวินาที หรือมากกว่า
3. ตั้งช่วงกระตุ้นที่ 100 วินาที เปิดความแรงของกระแสจนเริ่มรู้สึก
หรือกล้ามเนื้อเริ่มหดตัว หรือเริ่มรู้สึกเจ็บแสบ บันทึกค่าความแรง
ของกระแสไว้
4. ลดช่วงกระตุ้นลงที่ 1 มิลลิวินาที
5. ปรับความแรงของกระแสเป็น 2 เท่าของค่าที่บันทึกไว้
6. ถ้าไม่มีความรู้สึกหรือไม่เห็นการหดตัวของกล้ามเนื้อ แล้วแต่
จุดประสงค์ที่เราต้องการ ให้เปลี่ยนช่วงกระตุ้นยาวขึ้นจนเริ่มรู้สึก
หรือกล้ามเนื้อเริ่มหดตัว บันทึกค่าของช่วงกระตุ้นนั้น ซึ่งคือค่า
chronaxie

ภาคพนวก ๔.

การย้อม ATPase

1. Cut 3 section at 10μ
2. Preincubate 2 sections at pH 4.3 and 4.6 for 10 minutes at 37°C .
3. Wash in 1/4 v/v dilute bufferend CaCl_2
4. Incubate both section in R.M. (2) for 30 minutes at 37°C (wet chamber).
5. Incubate remaining section at same time and conditions in R.M. (1)
6. Wash in 1% CaCl_2 for 3 x 2 minutes.
7. Place in 2% CaCl_2 for 2 x 3 minutes.
8. Wash in 4 changes distilled water.
9. Place in 1% Ammonium sulphide for 30 seconds.
10. wash well, Dehydrate, Clear, Mount on DPX

ภาคผนวก ๓

การเตรียม Solution เพื่อการข้อม ATPase

1. Glycine Buffer: 7.5 G Glycine + 5.8 g NaCl up to 1L.
2. Buffered CaCl_2 : 500 mls glycine buffered + 100 mls
1 M CaCl_2 + 350 mls 0.1 M NaOH, adjust to pH 9.5
with 1 NaOH
3. Acetate buffer pH 4.3 : 36.8 ml 0.2 M HOAC +
13.2 ml 0.2 M NaOAC.
4. Acetate buffer pH 4.6 : 25.5 ml 0.2 M HOAC + 24.5 ml
0.2 M NaOAC.
5. D.T.T (Dithiothreitol) : 1 mM renewed monthly (1 mM
= 0.001 g/10 ml)
6. Reaction Mix (1) (R.M. (1)) : 4 drops DTT + 20 ATP
dissolved in a few drops of water, added to
40 mis of buffered CaCl_2
7. Reaction Mix (2) (R.M. (2)) : 4 drops DTT + 20 ATP
dissolved in a few drops of water, added to
40 mis of buffered CaCl_2 diluted 1:4 with H_2O .

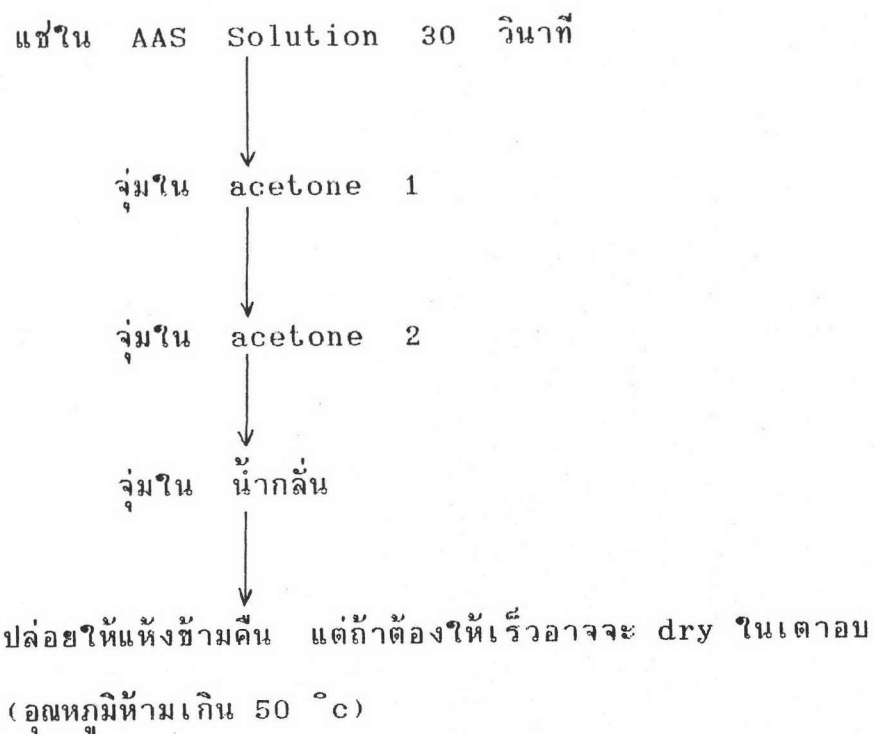
Notes :

pH 9.4 Preheat coplin jar, filter, buffer solution to
37 °c and use a sealed coplin jar to prevent precipitate.

ภาคผนวก ง

วิธีการชุบ AAS Slide

1. ล้าง slide ให้สะอาด
2. ล้าง rack ให้สะอาดโดยแช่ใน absolute alcohol และปล่อยให้แห้งในเตาอบ 30 นาที ต้องแน่ใจว่า rack ใส่ slide ปราศจาก alcohol และ
3. ใส่ slide ลงใน rack สหรับ AAS Solotion 500 ml ใช้ได้กับ slide 7-8 rack
4. เตรียม 2% AAS Solution โดยใช้ 10 ml AAS + 50 ml acetone
5. เตรียม acetone 2 ช้อน ๆ และ 500 ml
6. เตรียมน้ำกลั่น 1 ช้อน

ขั้นตอนการชุบ AAS Slide

ประวัติผู้เขียน

นายวิชญุ สօาดสุด เกิดวันที่ 19 มีนาคม พ.ศ. 2509 ที่จังหวัดกรุงเทพ สำเร็จการศึกษาปริญญาตรีวิทยาศาสตรบัณฑิต สาขาวากยภาพบำบัด ภาควิชาภาษาไทย คณะเทคโนโลยีแพทย์ มหาวิทยาลัยเชียงใหม่ ในปี การศึกษา 2531 และเข้าศึกษาต่อในหลักสูตรวิทยาศาสตรบัณฑิต สาขาวิทยาศาสตรการแพทย์ คณะแพทยศาสตร์ ที่จังหวัดเชียงใหม่ ปี พ.ศ. 2532 เมื่อ